



<https://jssr.ui.ac.ir/?lang=en>

Journal of Stratigraphy and Sedimentology Researches  
E-ISSN: 2423-8007

Vol. 39, Issue 1, No. 90, Spring 2023, pp 55-76  
Received: 27.06.2022 Accepted: 17.06.2023

**Research Paper**

**Biostratigraphy of the Pabdeh Formation based on planktonic foraminifera in the Tang-e-Chogan section in Interior Fars, Zagros Basin**

**Zahra Khaloasgari**

MSC student, Geology Department, Faculty of Science, Payame Noor University, Tehran, Iran  
z.khalooaskari@gmail.com

**Mahnaz Amirshahkarami\*** 

Associate Professor, Geology Department, Faculty of Science, Payame Noor University, Tehran, Iran  
amirshahkarami@pnu.ac.ir

**Koorosh Rashidi Sharifabad**

Associate Professor, Department of Geology, Faculty of Science, Yazd University, Yazd, Iran  
kooroshrashidi@yazd.ac.ir

**Abstract**

The biostratigraphy of the marly-limestone Pabdeh Formation has been studied in a section located in the Interior Fars (folded Zagros). Five assemblage biozones of plankton foraminifera with Early Eocene to Late Eocene age were identified in the studied section. Biozone 1 with a thickness of two meters has been identified at the base of the studied succession and includes *Morozovellavella scoensis* and *Morozovella conicotruncata* species defining the Early Eocene age. Biozone 2 with a thickness of 59 meters is the Early Eocene in age and is associated with the first occurrence of *Morozovella aragonensis* at the base and the last occurrence of *Chiloguembelina wilcoxensis* at the top. Biozone 3 with a thickness of 66 meters is defined by the first occurrence of *Globigerinatheka kugleri* at the base and the occurrence of *Guembelitrioides nuttalli* at the top and represents the beginning of the part of the Middle Eocene. The presence of *Orbulinoides beckmanni* indicates the Middle Eocene for biozone 4 with a thickness 88 meters. Biozone 5 with a thickness of 163 meters indicates the Middle–Late Eocene for the top of studied succession according to the first and last occurrence of *Hantkenina alabamensis*.

**Keywords:** Pabdeh Formation, Planktonic foraminifera, Early Eocene–Late Eocene, Biostratigraphy

**Introduction**

The Laramide orogeny event is one of the tectonic events affecting the geology of Iran, which played a significant role in the formation of independent Cenozoic sedimentary basins of Iran (Aghanabati 2004). The subduction of Neotethys under the Iranian Plate began in the Upper Jurassic–Lower Cretaceous and was accompanied by the evolution of the present-day tectonic structure of Zagros in the Upper Paleocene–Lower Eocene (Heidari 2008). The Zagros sedimentary basin has three sedimentary units: Khuzestan Plain, folded Zagros or external Zagros, high Zagros or internal Zagros (Darvishzadeh 1991). After the Late Cretaceous movements, in the Early Paleogene, the whole Zagros was covered by an progressive sea. In the coastal areas of this sea

the Sachun Formation, in shallow areas the Jahrom Formation and in deep areas the Pabdeh Formation have been deposited (Aghanabati 2004).

The Pabdeh Formation is limited to the shales layers of the Gurpi Formation with the Maastrichtian age (in Fars and Khuzestan) to the Paleocene age (in Lorestan) at the lower boundary, and is limited to the limestones layers of the Asmari Formation with Oligocene–Miocene age at the upper boundary.

The studied section is located in the Tang-e-Chogan area 35 km of northeast of Kazeran in the Interior Fars Basin in the folded Zagros. This section is on the axial line of the Dashtak anticline in the geographical position  $51^{\circ} 36' 48''/22''$

\*Corresponding author

Khaloasgari Z. Amirshahkarami M. and Rashidi Sharifabad K. (2023). Biostratigraphy of the Pabdeh Formation based on planktonic foraminifera in the Tang-e-Chogan section in Interior Fars, Zagros Basin. Journal of Stratigraphy and Sedimentology Researches, 39(1):55-76.



to  $51^{\circ} 36' 58/09''$  East and  $29^{\circ} 47' 28/52''$  to  $29^{\circ} 47' 69/59''$  North.

The lithology of the Pabdeh Formation in the Tang-e-Chogan section with a thickness of 378 meters is composed of marls, marly limestones, and medium to thick bedded limestones.

In its lower boundary, there are gray shales of the Gurpi Formation (Upper Cretaceous) with disconformities (Moghaddasi et al. 2020) and the upper boundary is overlain by the limestones of the Asmari Formation (Oligocene–Miocene).

Considering the special position of the Pabdeh Formation in the petroleum system of the Zagros Basin, it is important to study this formation. For this reason, in this research, the stratigraphy and biostratigraphy of this formation based on plankton foraminifera have been investigated.

### Discussion of Results & Conclusions

The biostratigraphy of the Pabdeh Formation in the studied section is according to the biozonation of planktonic foraminifera by Toumarkine and Luterbacher (1985), Bolli et al. (1985), Berggren and Pearson (2005), Wade et al. (2011), and Bown et al. (2020). Five assemblage biozones of plankton foraminifera with the Early Eocene to Late Eocene age were identified in the studied section. Biozone 1 with a thickness of two meters has been identified at the base of the studied succession and includes *Morozovella velascoensis* and *Morozovella conicotruncata* species defining the Early Eocene age. Biozone 2 with a thickness of 59 meters is Early Eocene in age and is associated with the first occurrence of *Morozovella aragonensis* at the base and the last occurrence of *Chiloguembelina wilcoxensis* at the top and is consistent to the base of the biozone E5 of Berggren and Pearson (2005), Wade et al. (2011). Assemblage biozone 2 includes *Morozovellaaequa*, *Morozovella formosa*, *Morozovella gracilis*, *Chiloguembelina wilcoxensis*, *Morozovella aragonensis*, *Morozovella caucasica*, *Morozovella subbotiniae*, *Alicantinasp.*, *Subbotinasp.*, *Subbotinacf. eocanea*, *Pseudohastigerinamicra*, *Planorotalite pseudoscitula*, *Clavigerinella akersi*, *Parasubbotina pseudowilsoni*, *Hantkenina sp.* Biozone 3 with a thickness 66 meters includes assemblage of *Guembelitrioides nuttalli*, *Globigerina sp.*, *Hantkenina sp.*, *Uvigerina havanensis*, *Hantkenina mexicana*, *Globigerinatheka kugleri*, *Acarinina bullbrookii*, *Morozovella cf. aragonensis*, *Planorotalites pseudoscitula*, *Globorotalia renzi*, *Globorotalia sp.*

,*Hantkenina longispina*, *Morozovelloides cf. crassatus*, *Hantkenina alabamensis*, *Pseudohastigerina cf. micra*, *Turborotalia cerroazulensis*, *Globigerina velascoensis*, *Subbotina eocaena*. It is defined by the first occurrence of *Globigerinatheka kugleri* at the base and the occurrence of *Guembelitrioides nuttalli* at the top and represents the beginning of the part of the Middle Eocene and is in accordance of the base of the biozone E8 of Wade et al. (2011). Biozone 4 with a thickness 88 meters includes *Globigerina sp.*, *Hantkenina sp.*, *Hantkenina mexicana*, *Acarinina bullbrookii*, *Hantkenina longispina*, *Hantkenina alabamensis*, *Turborotalia cerroazulensis*, *Subbotina eocaena*, *Orbulinoides beckmanni*, *Pseudohastegina cf. micra*, *Globigerina pseudoeocaena*, *Pseudohastegrina micra*, *Hantkenina aff. Dumblei*. According to biozone P13 of Berggren and Van Couvering (1974) and Berggren and Pearson (2005) and biozone E12 of Wade et al. (2011) the presence of *Orbulinoides beckmanni* indicates the Middle Eocene for biozone 4. Biozone 5 indicates the Middle–Late Eocene for the top of the studied section according to the first and last occurrence of *Hantkenina alabamensis*. Biozone 5 with a thickness of 163 meters *Globigerina sp.*, *Hantkenina sp.*, *Hantkenina mexicana*, *Acarinina bullbrookii*, *Hantkenina longispina*, *Hantkenina alabamensis*, *Turborotalia cerroazulensis*, *Globigerina pseudoeocaena*, *Globigerina sp.*, *Planorotalites pseudoscitula*

The biostratigraphy of the Pabdeh Formation in the Tang-e-Chogan section indicates five assemblage biozones of plankton foraminifera with the Early Eocene to Late Eocene age. These biozones include 21 genera and 24 species of the following planktonic and benthic foraminifera:

*Acarinina bullbrookii*, *Alicantina sp.*, *Chiloguembelina wilcoxensis*, *Clavigerinella akersi*, *Globorotalia renzi*, *Globigerina pseudoeocaena*, *Globigerina sp.*, *Globigerinatheka kugleri*, *Guembelitrioides nuttalli*, *Hantkenina alabamensis*, *Hantkenina longispina*, *Hantkenina mexicana*, *Hantkenina sp.*, *Kathina sp.*, *Lenticulina sp.*, *Morozovella aequa*, *Morozovella aragonensis*, *Morozovella caucasica*, *Morozovella conicotruncata*, *Morozovella formosa*, *Morozovella gracilis*, *Morozovella subbotiniae*, *Morozovellavela scoensis*, *Morozovelloides cf. crassatus*, *Orbulinoides beckmanni*, *Parasubbotina pseudowilsoni*, *Planorotalites pseudoscitula*, *Pseudohastegrina micra*, *Streptochilus sp.*, *Subbotina eocaena*, *Subbotina sp.*, *Turborotalia cerroazulensis*, *Uvigerina havanensis*.



مقاله پژوهشی

## زیست چینه‌نگاری سازند پابده براساس روزن‌داران پلانکتون در برش تنگ چوگان، فارس داخلی، حوضه رسوبی زاگرس

زهرا خالوعسگری، دانشجوی کارشناسی ارشد گروه زمین‌شناسی بخش علوم پایه دانشگاه پیام نور، تهران، ایران

z.khalooaskari@gmail.com

مهناز امیرشاه کرمی<sup>\*</sup> ، دانشیار گروه زمین‌شناسی بخش علوم پایه دانشگاه پیام نور تهران، ایران

amirshahkarami@pnu.ac.ir

کوروش رشیدی شریف‌آباد، دانشیار گروه زمین‌شناسی دانشکده علوم پایه دانشگاه یزد، یزد، ایران

koo.rashidi@gmail.com

### چکیده

زیست چینه‌نگاری سازند پابده در یک برش از این سازند، واقع در فارسی داخلی (زاگرس چین خورده) مطالعه شد. پنج زون زیستی تجمعی از روزن‌داران پلانکتون با سن ائوسن پیشین-ائوسن پسین در این برش شناسایی شد. زون زیستی ۱ شامل گونه‌های *velascoensis* و *Morozovella conicotruncata* و *Morozovella* است و سن ائوسن پیشین را برای بخش‌های ابتدایی برش مطالعه شده نشان می‌دهد. زون زیستی ۲، سن ائوسن پیشین دارد و با اولین ظهور گونه *Morozovella aragonensis* در ابتدا و آخرین حضور گونه *Globigerinatethka kugleri* در انتهای همراه است. زون زیستی ۳، همراه با اولین حضور *Chiloguembelina wilcoxensis* و *nuttalli* در انتهای این زون، بیانگر بخش‌های آغازین از ائوسن میانی است. زون زیستی ۴ به لحاظ وجود حضور *Guembelitrioides* در انتهای این زون، بیانگر بخش‌های آغازین از ائوسن میانی است. زون زیستی ۵ با توجه به اولین و آخرین حضور *Hantkenina alabamensis* سن ائوسن میانی - پسین را برای بخش انتهایی برش مطالعه شده مشخص می‌کند.

**واژه‌های کلیدی:** سازند پابده، روزن‌داران پلانکتون، ائوسن پیشین-ائوسن پسین، زیست چینه‌نگاری.

\*نویسنده مسئول

حالوعسگری، ز.؛ امیرشاه کرمی، م. و رشیدی شریف‌آباد، ک. (۱۴۰۲). زیست چینه‌نگاری سازند پابده براساس روزن‌داران پلانکتون در برش تنگ چوگان، فارس داخلی، حوضه رسوبی زاگرس. پژوهش‌های چینه‌نگاری و رسوب‌شناسی، ۱(۳۹): ۵۵-۷۶.



## مقدمه

بالایی به آهک‌های صخره‌ساز سازند آسماری به سن الیگومن - میوسن محدود می‌شود. سازند پابده در برش الگو از نظر سنگ چینه‌نگاری، دو بخش غیررسمی شیل‌های ارغوانی در قاعده سازند پابده و بخش آهک‌های چرتی دارد که بر شیل‌های ارغوانی قرار می‌گیرد. بخش شیل ارغوانی در ناحیه فارس، ممتد نیست (Motiei 1995).

به جز لرستان، مرز پایینی سازند پابده ناپیوسته است. در لرستان مرز پایینی سازند پابده با شیل و مارن‌های سازند گورپی، در قاعده بخش شیل ارغوانی است، ولی، در فارس که بخش شیل ارغوانی ممتد نیست، این مرز در قاعده بخش آهک‌های چرتی انتخاب می‌شود که نشان از دگرشیبی فاز کرتاسه پایانی دارد و با گرهک‌هایی از فسفات، دندان‌ماهی، گلوکونیت و در برخی نقاط با کنگلومرا مشخص می‌شود. در برش الگو، مرز بالای سازند پابده با سنگ‌آهک‌های سازند آسماری هم‌شیب و تدریجی است و گاهی نیز سازند پابده در زیر سازند جهرم قرار دارد. (Aghanabati 2004). براساس مطالعات (Mohseni and Aasm 2004) سازند پابده از تناوب سنگ‌آهک‌های نازک‌لایه تا ضخیم‌لایه و شیل‌های خاکستری تیره تا روشن غنی از فرامینیفرای پلانکتونیک تشکیل شده است. مطالعه محیط رسوبی سازند پابده، با توجه به مطالعه فسیل‌های اثری توسط Mohseni et al. (2011) دلالت بر وجود شرایط رمپ شیب‌دار با آب‌های عمیق کم‌اکسیژن دارد. با توجه به جایگاه ویژه سازند پابده در اکتشافات ذخایر هیدروکربنی، مطالعه توالی‌های متعدد از این سازند حائز اهمیت است؛ از این رو در این تحقیق، مطالعه چینه‌نگاری و زیست چینه‌نگاری این سازند، براساس روزن‌داران پلانکتون بررسی شده است.

## تاریخچه

سازند پابده را برای اولین بار، James and Wynd (1965) مطالعه و معرفی کرد. برش الگوی واحد سنگی پابده در تنگ پابده در شمال میدان نفتی لالی در مسجدسلیمان، به ضخامت

رخداد کوهزایی لارامید، یکی از رویدادهای زمین‌ساختی اثرگذار بر زمین‌شناسی ایران است که در شکل‌گیری حوضه‌های رسوبی مستقل سنجوزئیک ایران، نقش بسزایی داشته است (Aghanabati 2004). فرورانش نووتیس به زیر صفحه ایران در ژوراسیک بالایی - کرتاسه زیرین آغاز و در پالئوسن بالایی - ائوسن زیرین با تکامل ساختار تکتونیکی امروزی زاگرس، همراه شده است (Heidari 2008). حوضه رسوبی زاگرس سه واحد رسوبی دشت خوزستان، زاگرس چین‌خوردہ یا زاگرس خارجی، زاگرس مرتفع یا زاگرس داخلی دارد (Darvishzadeh 1991).

پس از حرکات کرتاسه پسین، در اوایل پالئوژن، تمامی زاگرس با یک دریای پیش‌رونده پوشیده شد. در مناطق ساحلی این دریا «سازند آواری ساچون»، در مناطق کم‌عمق، «سازند کربناتی جهرم» و در نواحی ژرف، «سازند شیلی پابده» رسوب کرده است (Aghanabati 2004). سازند پابده به دلیل رخساره عمیق و پلازیک و نهشته‌های کربناته غنی از مواد آلی، به عنوان سنگ منشأ هیدروکربن در مخازن نفتی آسماری در پهنه زاگرس، اهمیت خاصی دارد، ولی در بسیاری نقاط به بلوغ لازم برای تولید هیدروکربن نرسیده است و در نقاطی که به بلوغ رسیده باشد، سنگ منشأ می‌تواند پرتوان باشد (Afsharharb 2011). سازند پابده متشکل از مارن، آهک و شیل، طی کرتاسه بالایی تا پالئوسن نهشته شده است و دوران دوم و سوم زمین‌شناسی را تفکیک می‌کند. این سازند به‌ویژه در نواحی جنوب شرقی لرستان، خوزستان و نواحی جنوب استان فارس گسترش دارد و شامل مارن و شیل‌های خاکستری و لایه‌های آهک رسی دریایی است که دو بخش غیررسمی به نام‌های شیل ارغوانی و بخش آهک‌های چرتی دارد. در فارس و خوزستان، سن سازند پابده از پالئوسن تا الیگومن است (Aghanabati 2004). به‌طور کلی سازند پابده در مرز زیرین به شیل‌های سازند گورپی به سن ماستریشتن (در فارس و خوزستان) تا پالئوسن (در لرستان) و در مرز



شده است. (2015) Khaloasgari در برش دهلی، از سازند پابده در فارس، سن پالتوسن پسین تا انوسن پسین برای این سازند پیشنهاد داده است.

### اهداف مطالعه و روش تحقیق

هدف از این مطالعه، سنگ چینه‌نگاری توالی‌های رسویی مطالعه شده از سازند پابده و زون‌بندی زیستی براساس توزیع و پراکندگی روزن‌داران پلانکتون است. در این مطالعه هر دو روش تهیه مقاطع نازک میکروسکوپی از ۱۳۰ نمونه سخت و روش گل‌شویی از رسوبات نرم، برای جداسازی روزن‌داران پلانکتون از ۳۰ نمونه سست و عکس‌برداری SEM از میکروفسیل‌های ایزوله به کار گرفته شده است.

**موقعیت جغرافیایی و جایگاه زمین‌شناسی برش مطالعه شده**  
برش مطالعه شده واقع در استان فارس، در ۳۵ کیلومتری شمال شرق شهرستان کازرون در جاده قدیم کازرون به شیراز، در ناحیه تنگ چوگان واقع شده است (شکل ۱). این برش بر خط محوری تقادیس دشتک و در موقعیت جغرافیایی «۵۸°۰۹' ۵۱°۳۶' ۴۸/۲۲ تا ۶۹°۴۷' ۵۱°۳۶' ۰۳' شرقی و «۵۹°۵۹' ۲۹°۵۲' ۴۷' شمالی قرار دارد (شکل ۱).

زمین‌شناسی ساختاری زاگرس در ناحیه کازرون، به‌وسیله چین‌های تقادیسی و ناویدیسی طویل و منظم مشخص شده است. برش مطالعه شده تنگ چوگان در تقادیس دشتک، در حوضه فارس داخلی در کمربند زاگرس چین‌خورده واقع شده‌اند (شکل ۲). تقادیس دشتک با روند شمال غربی-جنوب شرقی است که مطابق با روند عمومی زاگرس و در قسمت زاگرس چین‌خورده قرار گرفته است. این تقادیس طولی نزدیک به ۷۰ کیلومتر دارد و متشکل از کوه‌های شاپور (در شمال) و دوان (در جنوب) است و در برش مطالعه شده نیز، بخش شیل ارغوانی تشخیص داده نشد. رسوبات پابده در توالی رسویی تنگ چوگان با ضخامت تقریبی ۳۷۸ متر از مارن، آهک مارنی و مارن آهکی ظرفیت تا متوسط و آهک متوسط تا ضخیم‌لایه تشکیل شده است. در مرز زیرین آن، شیل‌های خاکستری رنگ سازند گورپی (کرتاسه بالایی) است

۷۸۹ متر از شیل، مارن و آهک و متعلق به کرتاسه بالایی تا پالتوسن معرفی شده است. (1965) Wynd تعداد ۶۶ بیوزون از تریاس تا سنوزوئیک را توصیف کرد که از بیوزون ۴۱ تا ۶۶ متعلق به سنوزوئیک است. از این بیوزون‌ها، زون‌های تجمعی ۴۱ تا ۵۴ متعلق به سازند پابده‌اند. (1980) Alla et al. (1990) Bordenenave and Burwood به همراه سازند زیرین آن، سازند گورپی معرفی کرداند که متشکل از رسوبات دانه‌ریز کربناته و آواری است و حتی در برخی نقاط حوضه رسویی زاگرس، این دو سازند را به عنوان سنگ منشأ توصیف کرداند.

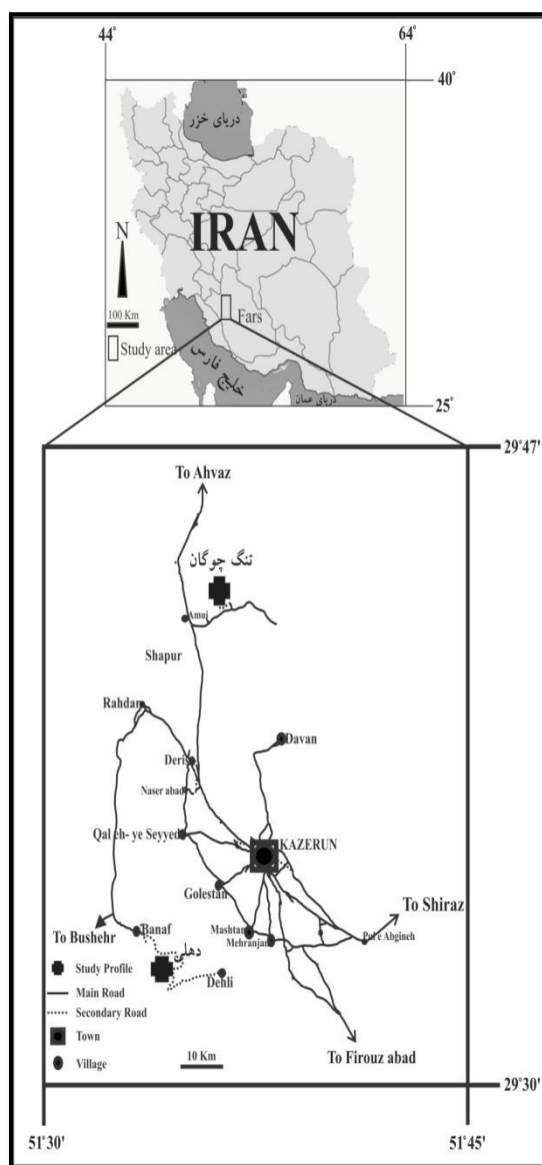
(1998) Najafi میکروبیواستراتیگرافی سازند پابده در شمال شرق فروافتادگی دزفول و ارتباط چینه‌ای آن را با سازندهای تله‌زنگ، کشکان و شهبازان بررسی کرده است که تعداد ۱۴ بیوزون شناسایی شده در این برش، سن پالتوسن پیشین تا الیگوسن پیشین را نشان می‌دهد.

بر طبق بازنگری‌های اخیر در چینه‌شناسی در مرز زیرین سازند پابده در برش نمونه، سازند گورپی بدون توقف رسوب‌گذاری و با مرزی پیوسته با سازند پابده ثبت شده است (Amiribakhtiyar et al. 2014). تاکنون مطالعات زیادی در زمینه زیست چینه‌نگاری و دیرینه بوم‌شناسی سازند پابده انجام شده Babazadeh et al. (2010); Behbahani et al. (2008); Salsani (2012); Sadeghi and Hadavandkhani (2010); Parandavar et al. (2013); Ahifar et al. (2015) است که از جمله آن به Babazadeh et al. (2010); Behbahani et al. (2008); Salsani (2012); Sadeghi and Hadavandkhani (2010); Parandavar et al. (2013); Ahifar et al. (2015) اشاره می‌شود. براساس بازنگری چینه‌شناسی سن سازند پابده در محل برش نمونه، با توجه به زون‌بندی زیستی روزن‌داران پلانکتون (Premoli Silva et al. 2003)، پالتوسن پسین (Thanetian) تا الیگوسن میانی (2003)، پالتوسن پسین (Ruplian) است (Amiribakhtiyar et al. 2014). مطالعات اخیر (Ruplian) نانوفسیل‌های آهکی و پالینولوژی بر سازند گورپی و سازند Khavari Khorasani پابده هم، موارد فوق را تأیید می‌کنند (Khavari Khorasani et al. 2014). براساس مطالعه زیست چینه‌نگاری بر مبنای نانوفسیل‌های آهکی توسط Khavari Khorasani et al. (2014) است. سازند پابده در تنگ ابوالحیات در فارس، پالتوسن پسین تا الیگوسن پسین گزارش



مارن آهکی و بخش ۲، شامل ۹۳ متر آهک کرم‌رنگ و مارن آهکی متوسط تا ضخیم‌لایه و بخش ۳ شامل ۳۰ متر مارن ضخیم‌لایه و بخش ۴ شامل ۱۴۷ متر آهک و مارن آهکی ضخیم‌لایه همراه با آهک مارنی متوسط تا ضخیم‌لایه و بخش ۵، شامل ۱۲ متر مارن متوسط‌لایه و بخش ۶ شامل ۵۷ متر آهک و آهک مارنی ضخیم‌لایه است.

که با توجه به مطالعات Moghaddasi et al.(2020) درباره مرز سازند گورپی با پابده، از نوع ناپیوستگی هم‌شیب است و در مرز بالایی آن، آهک‌های صخره‌ساز سازند آسماری (الیگوسن- میوسن) نهشته شده است (شکل‌های ۳ و ۴). از نظر سنگ چینه‌نگاری، ۶ واحد رسوبی در نهشته‌های سازند پابده در برش تنگ چوگان تفکیک‌شدنی است. بخش ۱ شامل ۳۹ متر مارن متوسط تا ضخیم‌لایه با میان‌لایه‌های نازک



شکل ۱- موقعیت جغرافیایی و راه‌های دسترسی به برش مطالعه شده

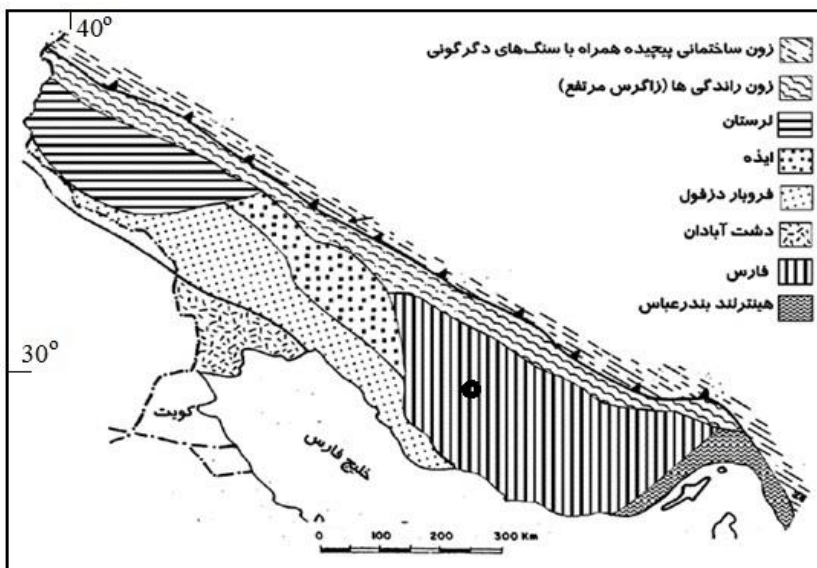
**Fig 1- Geographical location and ways of accessing the studied section**



<https://doi.org/10.22108/jssr.2023.134029.1234>

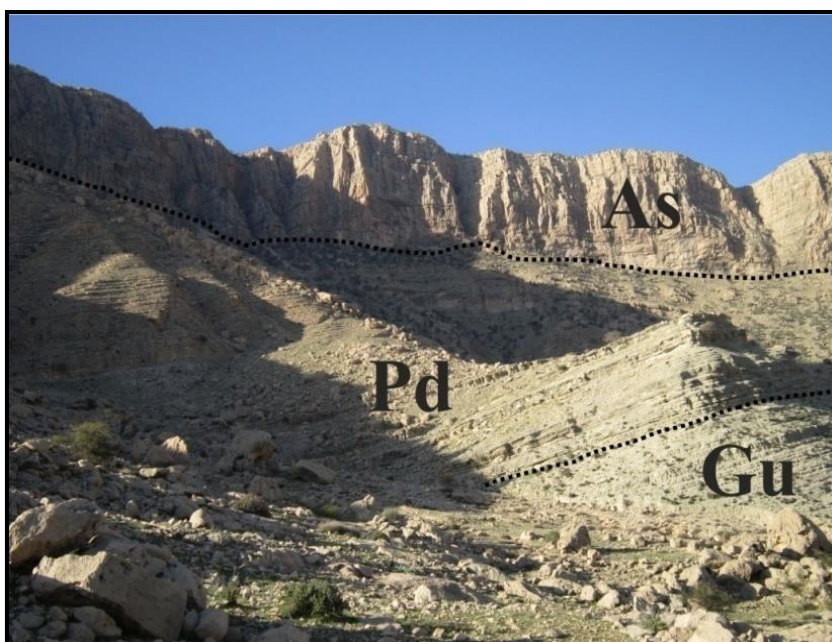


<https://dorl.net/dor/20.1001.1.20087888.1402.39.1.4.4>



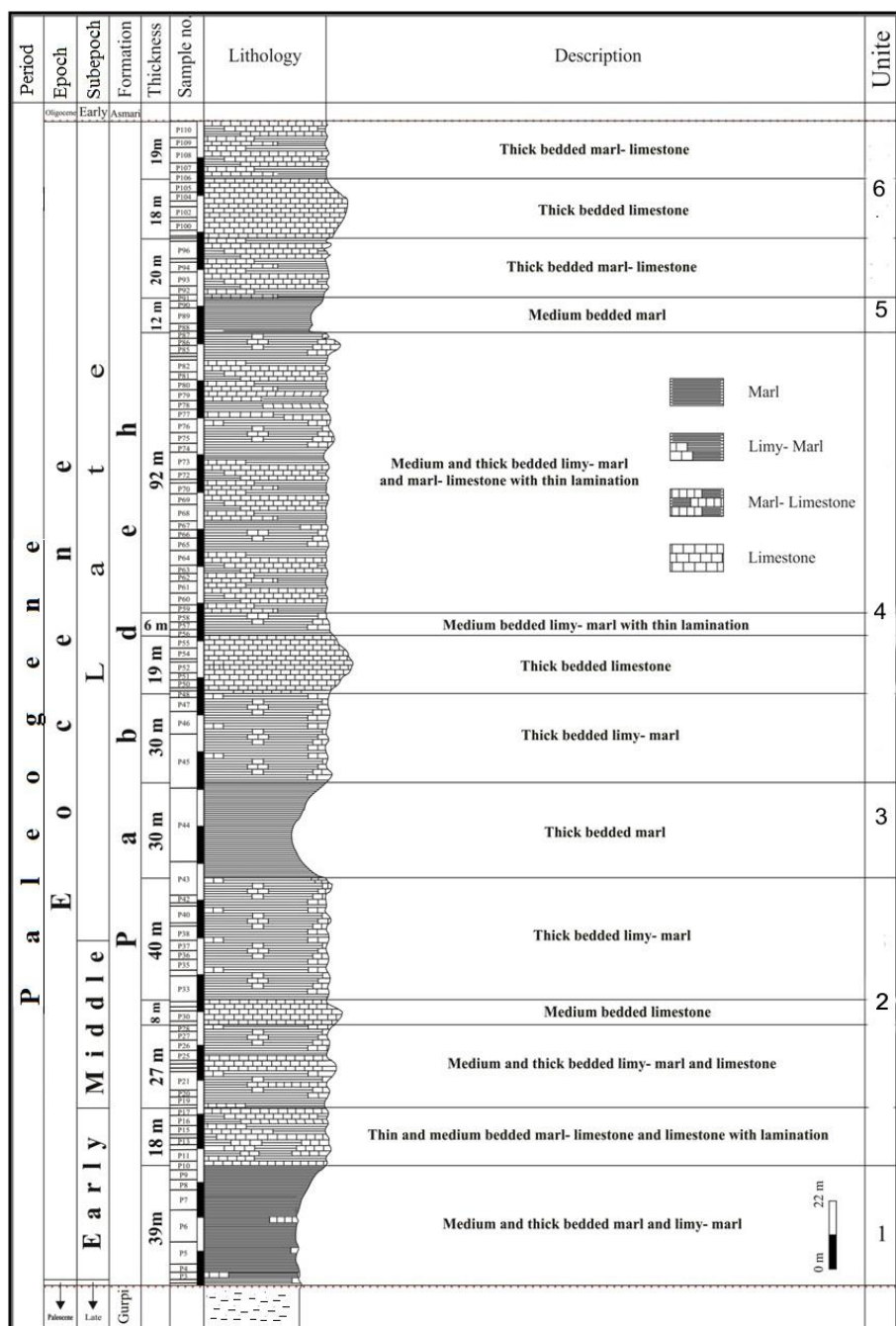
شکل ۲- زیرپهنه‌های زاگرس و موقعیت زمین‌شناسی برش مطالعه شده (اقتباس نقشه از Motiei (1995)

**Fig 2- Zagros sub-zones and geological location of the studied section**  
(Map adaptation of Motiei 1995)



شکل ۳- سازند پابده در برش تنگ چوگان (دید به سمت شمال غرب) As: سازند آسماری Gu: سازند گورپی، Pd: سازند پابده

**Fig 3- Pabdeh Formation at Tang-e Chogan section (view to the northwest) As: Asmari Formation, Gu: Gurpi Formation, Pd: Pabdeh Formation**



شکل ۴- ستون سنگ چینه‌نگاری سازند پابده در برش تنگ چوگان

Fig 4- Lithostratigraphy column of the Pabdeh Formation at Tang-e Chogan section

Bolli et al. و Wade et al. (2011) و Pearson (2005)

Bown et al. ) www.mikrotax.org (1985) و سایت اینترنتی

(2020) انجام شده است. بر مبنای توزیع زیست چینه‌نگاری روزن‌داران پلانکتون در رسوبات سازند پابده در توالی رسوبی

### زیست چینه‌نگاری

زون‌بندی زیستی سازند پابده در توالی‌های رسوبی مطالعه شده، براساس زون‌بندی روزن‌داران پلانکتون از Berggren and Toumarkine and Luterbacher (1985)


<https://doi.org/10.22108/jssr.2023.134029.1234>

<https://dorl.net/dor/20.1001.1.20087888.1402.39.1.4.4>

انتهای این زون نیز، سن ائوسن میانی را برای این بخش از برش مطالعه شده تأیید می کند. اجتماع فرامینفرها در این زون به شرح زیر است.

*Guembelitrioides nuttalli*, *Globigerina* sp., *Hantkenina* sp., *Uvigerina havanensis*, *Hantkenina mexicana*, *Globigerinatheka kugleri*, *Acarinina bullbrooki*, *Morozovella* cf. *aragonensis*, *Planorotalites pseudoscitula*, *Globorotalia renzi*, *Globorotalia* sp., *Hantkenina longispina*, *Morozovelloides* cf. *crassatus*, *Hantkenina alabamensis*, *Pseudohastigerina* cf. *micra*, *Turborotalia cerroazulensis*, *Globigerina velascoensis*, *Subbotina eocaena*,

**بیوزون ۴:** این زون زیستی به لحاظ وجود

*Orbulinoides beckmanni* بیانگر بخش های فوقانی از ائوسن میانی و معادل زون P13 از Berggren and Van Couvering (1974) و زون E12 از Wade et al. (2005) و زون ۶۵ متر (2011) (جدول ۳ الف) است و ضخامتی در حدود ۶۵ متر دارد و شامل *Streptochilus* sp. از روزن داران بتیک و اجتماع روزن داران پلانکتون به شرح زیر است.

*Globigerina* sp., *Hantkenina* sp., *Hantkenina mexicana*, *Acarinina bullbrooki*, *Hantkenina longispina*, *Hantkenina alabamensis*, *Turborotalia cerroazulensis*, *Subbotina eocaena*, *Orbulinoides beckmanni*, *Pseudohastegina* cf. *micra*, *Globigerina pseudoeocaena*, *Pseudohastegrina micra*, *Hantkenina aff. dumbie*

**بیوزون ۵:** این زون زیستی به لحاظ اولین و آخرین

حضور از *Hantkenina alabamensis* بیانگر سن ائوسن میانی - پسین است و ضخامتی در حدود ۱۴۸ متر دارد و شامل روزن داران پلانکتون زیر است.

*Globigerina* sp., *Hantkenina* sp., *Hantkenina mexicana*, *Acarinina bullbrooki*, *Hantkenina longispina*, *Hantkenina alabamensis*, *Turborotalia cerroazulensis*, *Globigerina pseudoeocaena*, *Globigerina* sp., *Planorotalites pseudoscitula*

چوگان، ۵ زون زیستی تجمعی در ائوسن پایینی تا ائوسن بالایی تعریف می شود (شکل ۵). نمونه میکروفیل ها در هر دو حالت ایزوله و مقطع نازک میکروسکپی، بررسی شده اند (Plates 1-6).

**بیوزون ۱:** این زون زیستی در قاعده برش مطالعه شده

قرار گرفته است و شامل روزن داران پلانکتونی چون *Morozovella velascoensis*, *Morozovella conicotruncata* است. با توجه به این نکته که آخرین حضور این دو گونه در ائوسن پیشین رخ می دهد، سن این بخش از برش مطالعه شده به ائوسن پیشین نسبت داده می شود (جدول ۱). ضخامت این زون زیستی در برش تنگ چوگان حدود ۲ متر بوده است.

**بیوزون ۲:** اولین حضور *Morozovella aragonensis*

شاخصی برای نهشته های ائوسن پیشین محسوب می شود، در ابتدای این زون زیستی رخ می دهد که معادل با قاعده زون Wade et al. (2005) از Berggren and Pearson (2005) (جدول ۱، ۲، ۳ ب) است. آخرین حضور

*Chiloguembelina wilcoxensis* نیز در انتهای این زون و معادل با انتهای زون E5 اتفاق می افتد. این زون ضخامتی در حدود ۵۹ متر دارد و شامل روزن دار بتیک *Kathina* sp. و *Subbotina eocanea* و *Lenticulina* sp. و *Uvigerina havanensis* و *Morozovella aequa* و *Morozovella formosa* و *Morozovella gracilis* و *Chiloguembelina wilcoxensis* و *Morozovella aragonensis* و *Morozovella caucasica* و *Morozovella subbotinae* و *Alicantina* sp. و *Subbotina* sp. و *Pseudohastigerina micra* و *Planorotalites pseudoscitula* و *Clavigerinella akersi* و *Parasubbotina pseudowilsoni* و *Hantkenina* sp. در

**بیوزون ۳:** اولین حضور *Globigerinatheka kugleri* در

ابتدای این زون، معادل قاعده زون E8 (Wade et al. 2011) از ائوسن میانی است. حضور *Guembelitrioides nuttalli*



| RAD<br>AGE<br>38 | AGE  | PLANKTIC FORAMINIFERA ZONAL              | DATUM MARKER                                  |
|------------------|------|--|---|
| EOCENE           | L    | <i>Turborotalia cerroazulensis. s. l</i> | L <i>Turborotalia cerroazulensis. s. l</i>    |
|                  |      | <i>Globigerinatheka semiinvoluta</i>     | L <i>Globigerinatheka semiinvoluta</i>        |
|                  | 41   | <i>Truncorotaloides rohri</i>            | L <i>Globigerinatheka s. subconglobata</i>    |
|                  |      | <i>Orbulinoides beckmani</i>             | L <i>Orbulinoides beckmani</i>                |
|                  | M    | <i>Morozovella lehneri</i>               | F <i>Orbulinoides beckmani</i>                |
|                  |      | <i>Globigerinatheka s. subconglobata</i> | L <i>Morozovella aragonensis</i>              |
|                  | 50.3 | <i>Hantkenina nuttalli</i>               | F <i>Globigerinatheka mexicana mexicana</i>   |
|                  |      | <i>Acarinina pentacamerata</i>           | F <i>Hantkenina</i>                           |
|                  | E    | <i>Morozovella aragonensis</i>           | F <i>Turborotalia cerrazulensis fromosa</i>   |
|                  |      | <i>Morozovella formosa formosa</i>       | F <i>Acarinina pentacamerata</i>              |
| PALEOECENE       | 54.9 | <i>Morozovella subbutinae</i>            | F <i>Morozovella aragonensis</i>              |
|                  |      | <i>Morozovella edgari</i>                | L <i>Morozovella edgari</i>                   |
|                  | 61.5 | <i>Morozovella velascoensis</i>          | L <i>Morozovella velascoensis</i>             |
|                  |      | <i>Planorotalites pseudomenardii</i>     | L <i>Planorotalites pseudomenardii</i>        |
|                  | 66.7 | <i>Planorotalites pusilla pusilla</i>    | F <i>Planorotalites pseudomenardii</i>        |
|                  |      | <i>Morozovella angulata</i>              | F <i>Planorotalites pusilla pusilla</i>       |
|                  | 66.7 | <i>Morozovella uncinata</i>              | F <i>Morozovella angulata</i>                 |
|                  |      | <i>Morozovella trinidadensis</i>         | F <i>Morozovella uncinata</i>                 |
|                  | 66.7 | <i>Morozovella pseudobulloides</i>       | F <i>Morozovella trinidadensis</i>            |
|                  |      | <i>Globigerina eugubina</i>              | F <i>Morozovella pseudobulloides</i>          |
|                  |      |  | F <i>Globigerina eugubina/L.Globotruncana</i> |

جدول ۱- زونبندی روزن‌داران پلانکتون از پالئوسن تا ائوسن (Toumarkine and Luterbacher 1985)

F= First, L= Latest

**Table 1- Paleocene-Eocene Planktonic foraminifera biozonation** (Toumarkine and Luterbacher 1985), F= First, L= Latest



| PLANKTONIC FORAMINIFERA |   |   |   | EPOCH   |
|-------------------------|---|---|---|---|
|                         | Berggren et al.<br>(1995)                                       | Berggren and Pearson<br>(this work)                     |   |   |
| P7                      | <i>M. aragonensis / M. formosa</i><br>CRZ                       | E5  | <i>M. aragonensis / M. subbotinae</i> CRZ   |   |
| P6b                     | <i>M. formosa / M. lensiformis</i><br><i>M. aragonensis</i> ISZ | E4  | <i>M. formosa</i> LOZ   | EOCENE<br>EARLY   |
| P6a                     | <i>M. velascoensis - M. formosa / M. lensiformis</i> ISZ        | E3  | <i>M. marginodentata</i> PRZ  |   |
| P5                      | <i>M. velascoensis</i> IZ                                       | E2<br>↓<br>E1   | <i>P. wilcoxensis / M. velascoensis</i><br>CRZ<br><i>A. subtayaensis</i> LOZ      |   |
| P4c                     | <i>Ac. soldadoensis - Gl. pseudomenardii</i> ISZ                | P5  | <i>M. velascoensis</i> PRZ  |   |
| P4b                     | <i>Ac. subsphaerica</i><br><i>Ac. soldadoensis</i> ISZ          | P4c   | <i>Ac. soldadoensis - Gl. pseudomenardii</i> CRSZ                                 |   |
| P4a                     | <i>Gl. pseudomenardii</i><br><i>Ac. subsphaerica</i><br>CRSZ    | P4b<br>↓<br>P4a   | <i>Ac. subsphaerica</i><br>PRSZ<br><i>Gl. pseudomenardii - P. variolaria</i> CRSZ | PALEOCENE<br>LATE                                       |
| P3b                     | <i>I. albeari</i><br><i>Gl. pseudomenardii</i> ISZ              | P3b   | <i>I. albeari</i> LOSZ  |   |
| P3a                     | <i>M. angulata - I. albeari</i> ISZ                             | P3a   | <i>I. pusilla</i> PRSZ  |   |
| P1c                     | <i>P. uncinata - M. sinuata</i> IZ                              | P2<br>↑<br>P1c  | <i>P. uncinata</i> LOSZ   | PALEOCENE<br>EARLY                                      |
| P1b                     | <i>Gl. compressa - P. inconstans</i> ISZ                        | P1b   | <i>Gl. compressa - P. inconstans</i> LOSZ   |   |
| P1a                     | <i>S. triloculinoides - Gl. compressa</i> ISZ                   | P1a   | <i>S. triloculinoides</i> LOSZ  |   |
|                         | <i>P. eugubina - S. triloculinoides</i> ISZ                     | P1a   | <i>P. pseudobulloides</i> PRSZ  |   |
|                         | ↑<br>P $\alpha$<br>& P0   | ↑<br><i>P. eugubina</i> TRZ<br>& <i>G. cretacea</i> PRZ | ↑<br>P $\alpha$<br>& P0   | ↑<br><i>P. eugubina</i> TRZ<br>& <i>G. cretacea</i> PRZ |

جدول ۲- زونبندی زیستی روزن داران پلانکتون از پالوسن تا اوسن پیشین

(Berggren and Pearson 2005)

**Table 2- Paleocene-Late Eocene Planktonic foraminifera biozonation** (Berggren and Pearson 2005)



| EPOCH     | Planktonic Foraminifera Zone |                          |  |
|-----------|------------------------------|--------------------------|--|
|           | BKSA95 & BP05                | Wade et al. (this study) |  |
| MIocene   | EARLY                        | M2                       | <i>G. binaiensis</i> PRZ                               |
|           |                              | M1b                      | <i>G. dehiscens</i> /<br>'P'. <i>kugleri</i> CRSZ      |
|           |                              | M1a                      | 'P'. <i>kugleri</i> LOSZ                               |
|           | LATE                         | O7                       | 'P'. <i>pseudokugleri</i> LOZ                          |
|           |                              | O6                       | <i>G. ciperoensis</i> PRZ                              |
|           |                              | O5                       | <i>P. opima</i> HOZ                                    |
| Oligocene | EARLY                        | O4                       | <i>G. angulisuturalis</i> /<br><i>C. cubensis</i> CRZ  |
|           |                              | O3                       | <i>D. sellii</i> PRZ                                   |
|           |                              | O2                       | <i>T. ampliapertura</i><br>HOZ                         |
|           |                              | O1                       | <i>P. naguewichiensis</i><br>HOZ                       |
|           |                              | E16                      | <i>H. alabamensis</i> HOZ                              |
|           | LATE                         | E15                      | <i>G. index</i> HOZ                                    |
|           |                              | E14                      | <i>G. semiinvoluta</i> HOZ                             |
|           |                              | E13                      | <i>M. crassatus</i> HOZ                                |
|           |                              | E12                      | <i>O. beckmanni</i> TRZ                                |
|           |                              | E11                      | <i>M. lehneri</i> PRZ                                  |
| Eocene    | MIDDLE                       | E10                      | <i>A. topilensis</i> PRZ                               |
|           |                              | E9                       | <i>G. kugleri</i> /<br><i>M. aragonensis</i> CRZ       |
|           |                              | E8                       | <i>G. nuttalli</i> LOZ                                 |
|           |                              |                          | 'Paragloborotalia' <i>kugleri</i> (21.81)              |
|           |                              |                          | Globoquadrina <i>dehiscens</i> (23.20)                 |
|           |                              |                          | 'Paragloborotalia' <i>kugleri</i> (23.73)              |
|           |                              |                          | 'Paragloborotalia' <i>pseudokugleri</i> (25.9)         |
|           |                              |                          | Paragloborotalia <i>opima</i> (27.5)                   |
|           |                              |                          | <i>Chiloguembelina</i> <i>cubensis</i> (28.4)          |
|           |                              |                          | <i>Globigerina</i> <i>angulisuturalis</i> (29.4)       |
|           |                              |                          | <i>Turborotalia</i> <i>ampliapertura</i> (30.3)        |
|           |                              |                          | <i>Pseudohastigerina</i> <i>naguewichiensis</i> (32.0) |
|           |                              |                          | <i>Hantkenina</i> <i>alabamensis</i> (33.7)            |
|           |                              |                          | <i>Globigerinatheka</i> index (34.3)                   |
|           |                              |                          | <i>Globigerinatheka</i> <i>semiinvoluta</i> (35.8)     |
|           |                              |                          | <i>Morozovelloides</i> <i>crassatus</i> (38.0)         |
|           |                              |                          | <i>Orbulinoides</i> <i>beckmanni</i> (40.0)            |
|           |                              |                          | <i>Orbulinoides</i> <i>beckmanni</i> (40.5)            |
|           |                              |                          | <i>Guembilrioides</i> <i>nuttalli</i> (~42.3)          |
|           |                              |                          | <i>Morozovella</i> <i>aragonensis</i> (43.6)           |
|           |                              |                          | <i>Globigerinatheka</i> <i>kugleri</i> (~44.4)         |

جدول ۳ الف - حوادث زیستی مهم روزن‌داران پلانکتون بالتوسون-میوسن (Wade et al. 2011)

**Table 3a- Primary planktonic foraminiferal bioevents for the Paleocene-Miocene** (Wade et al. 2011) BKSA95=Berggren et al. (1995); Bp05=Berggren and Pearson (2005), A=Atlantic, IP=Indo-Pacific



<https://doi.org/10.22108/jssr.2023.134029.1234>



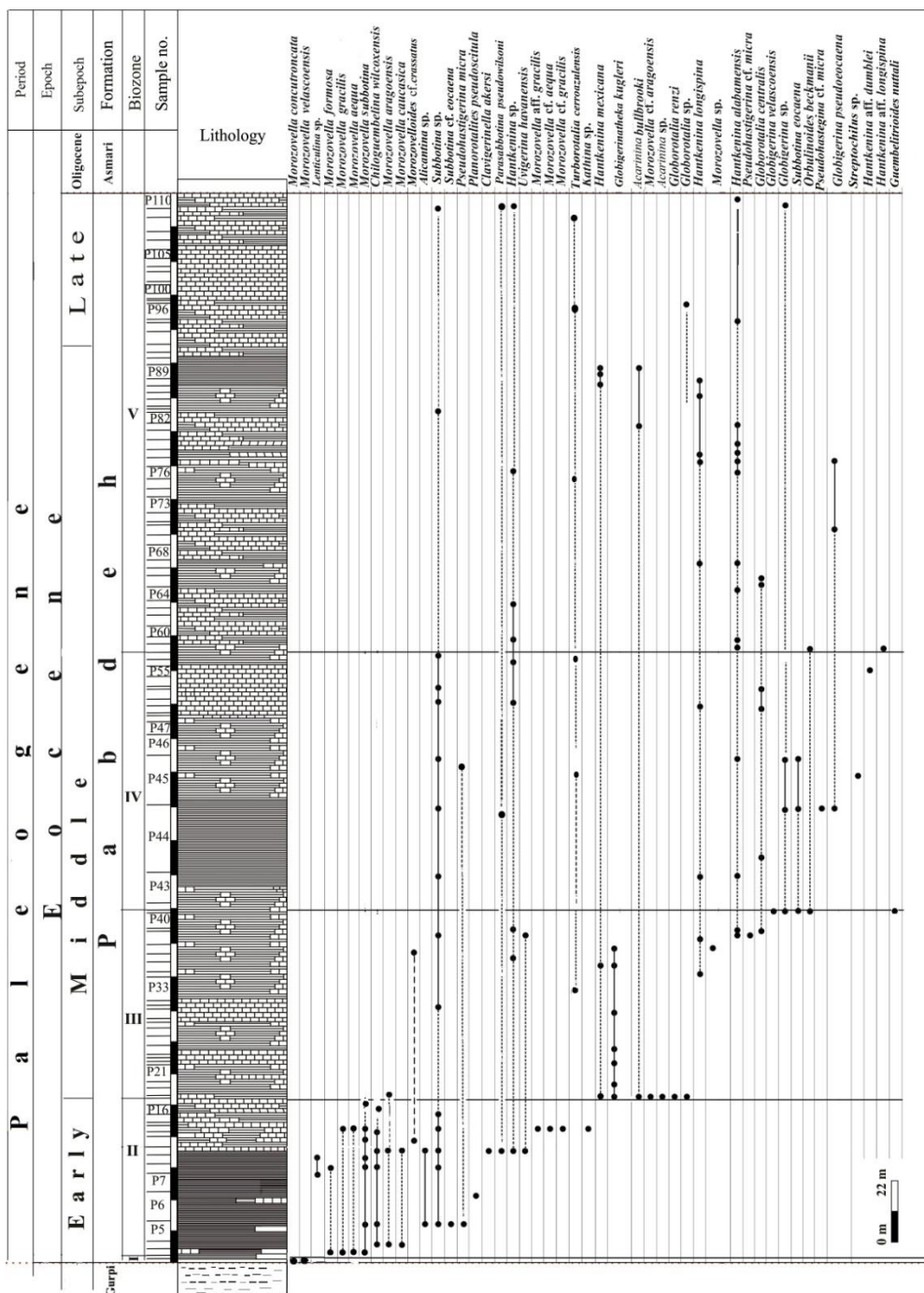
<https://dorl.net/dor/20.1001.1.20087888.1402.39.1.4.4>

| EPOCH     |        | Planktonic Foraminifera Zone |  |  |
|-----------|--------|------------------------------|--|--|
|           |        | BKSA95 & BP05                | Wade et al. (this study)                                 |  |
| EOCENE    | MIDDLE | E12                          | E12  | <i>O. beckmanni</i> TRZ                              |
|           |        | E11                          | E11  | <i>M. lehneri</i> PRZ                                |
|           |        | E10                          | E10  | <i>A. topilensis</i> PRZ                             |
|           |        | E9                           | <i>G. kugleri/</i><br><i>M. aragonensis</i> CRZ          | <i>Guembelitrioides nuttalli</i> (~42.3)             |
|           |        |                              |  | <i>Morozovella aragonensis</i> (43.6)                |
|           |        | E8                           | <i>G. nuttalli</i> LOZ                                   | <i>Globigerinatheka kugleri</i> (~44.4)              |
|           |        | E7b                          |  | <i>Guembelitrioides nuttalli</i> (46.4)              |
|           |        | <i>T. frontosa</i> LOSZ      |  |  |
|           |        | E7                           | E7a  | <i>Acarinina cuneicamerata</i> LOSZ                  |
|           |        | E6                           | E6   | <i>A. pentacamerata</i> PRZ                          |
|           |        | E5                           | E5   | <i>M. aragonensis/</i><br><i>M. subbotiniae</i> CRZ  |
|           |        | E4                           | E4   | <i>M. formosa</i> LOZ                                |
| PALEOCENE | LATE   | E3                           | E3   | <i>M. marginidentata</i> PRZ                         |
|           |        | E2                           | E2   | <i>P. wilcoxensis/</i><br><i>M. velascoensis</i> CRZ |
|           |        | E1 <sub>l</sub>              | <i>I. sibaiensis</i> LOZ                                 | <i>Pseudohastigerina wilcoxensis</i> (55.4)          |
|           |        | P5                           |  | <i>Acarinina sibaiensis</i> (55.5)                   |
|           |        | P4c                          | <i>A. soldadoensis/</i><br><i>G. pseudomenardii</i> CRSZ | <i>Globanomalina pseudomenardii</i> (55.9)           |
|           |        | P4b                          |  | <i>Acarinina soldadoensis</i> (56.5)                 |
|           |        | P4a                          | <i>A. subsphaerica</i><br>PRSZ                           |  |
|           |        | P3b                          | P3b  | <i>Igorina albeari</i> LOSZ                          |
|           |        | P3a                          | P3a  | <i>I. pusilla</i> PRSZ                               |
|           |        | P2                           | P2   | <i>P. uncinata</i> LOZ                               |
|           |        | P1c                          | P1c  | <i>G. compressa</i> LOSZ                             |
|           |        | P1b                          | P1b  | <i>S. triloculinoides</i> LOSZ                       |
|           | MIDDLE | P1a                          | P1a  | <i>P. pseudobulloides</i> PRSZ                       |
|           |        | P0 & P0                      | <i>P. eugubina</i> TRZ & <i>G. cretacea</i> PRZ          | <i>Parasubbotina variospira</i> (59.2)               |
|           |        | P0 & P0                      |  | <i>Globanomalina pseudomenardii</i> (59.4)           |
|           |        | P0 & P0                      |  | <i>Igorina albeari</i> (60.0)                        |
|           | EARLY  | P3a                          | <i>M. velascoensis</i> PRZ                               | <i>Morozovella angulata</i> (61.0)                   |
|           |        | P2                           |  | <i>Praemurica uncinata</i> (61.4)                    |
|           |        | P1c                          | <i>G. compressa</i><br>LOSZ                              | <i>Globanomalina compressa</i> (62.9)                |
|           |        | P1b                          |  | <i>Subbotina triloculinoides</i> (64.3)              |
|           | EARLY  | P1a                          | <i>P. pseudobulloides</i> PRSZ                           | <i>Top Parvularugoglobigerina eugubina</i> (64.8)    |
|           |        | P0 & P0                      |  | <i>Base Parvularugoglobigerina eugubina</i> (64.97)  |
|           |        | P0 & P0                      | <i>P. eugubina</i> TRZ & <i>G. cretacea</i> PRZ          | <i>Globotruncana</i> (65.0)                          |

جدول ۳ب- ادامه جدول ۳الف

Table 3b- (continued)





شکل ۵- ستون زیست چینه‌نگاری روزن‌داران سازند پابده در برش تنگ چوگان

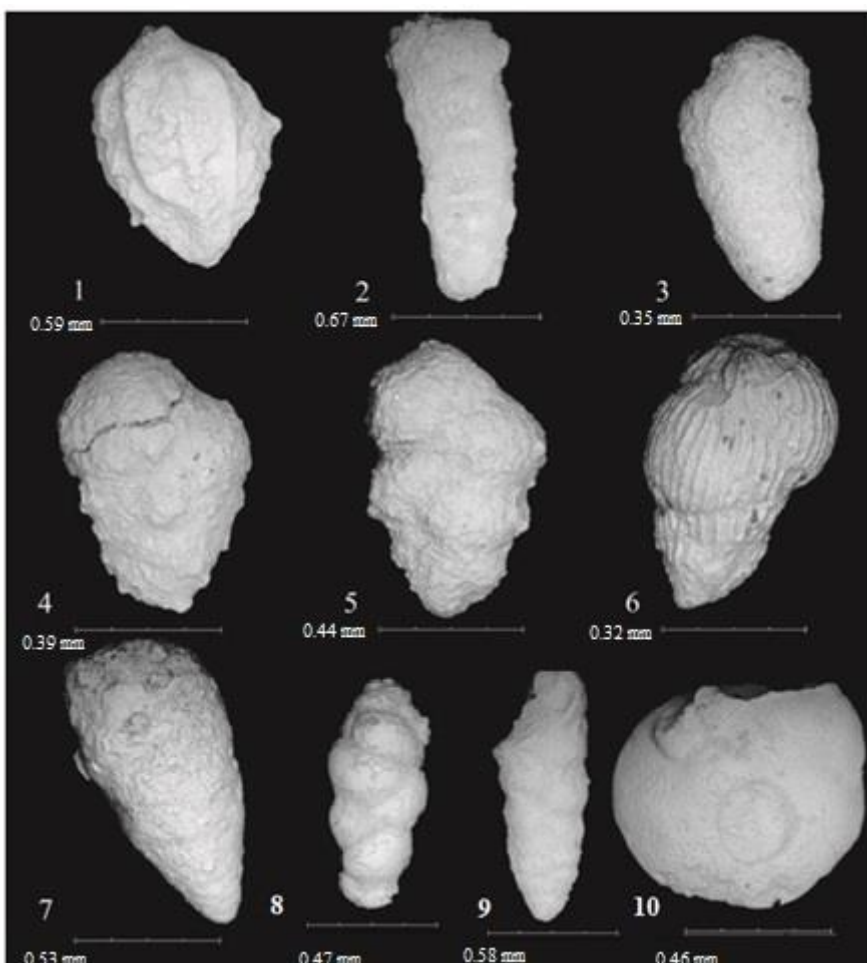
**Fig 5-** Biostratigraphical foraminifera column of the Pabdeh Formation at Tang-e Choghan section



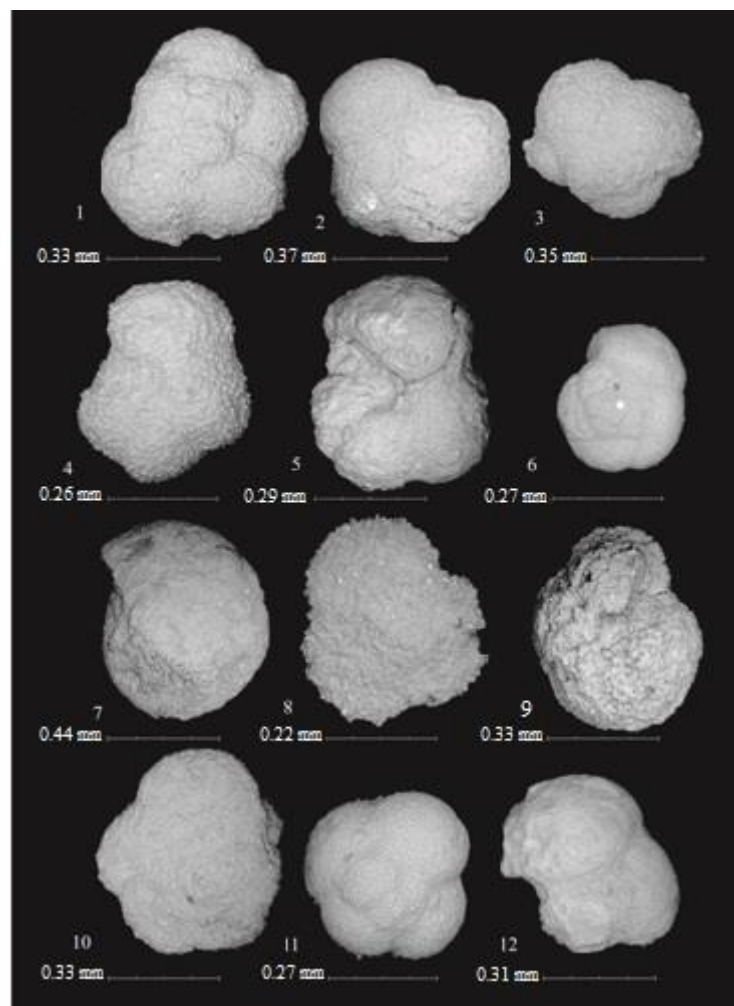
<https://doi.org/10.22108/jssr.2023.134029.1234>



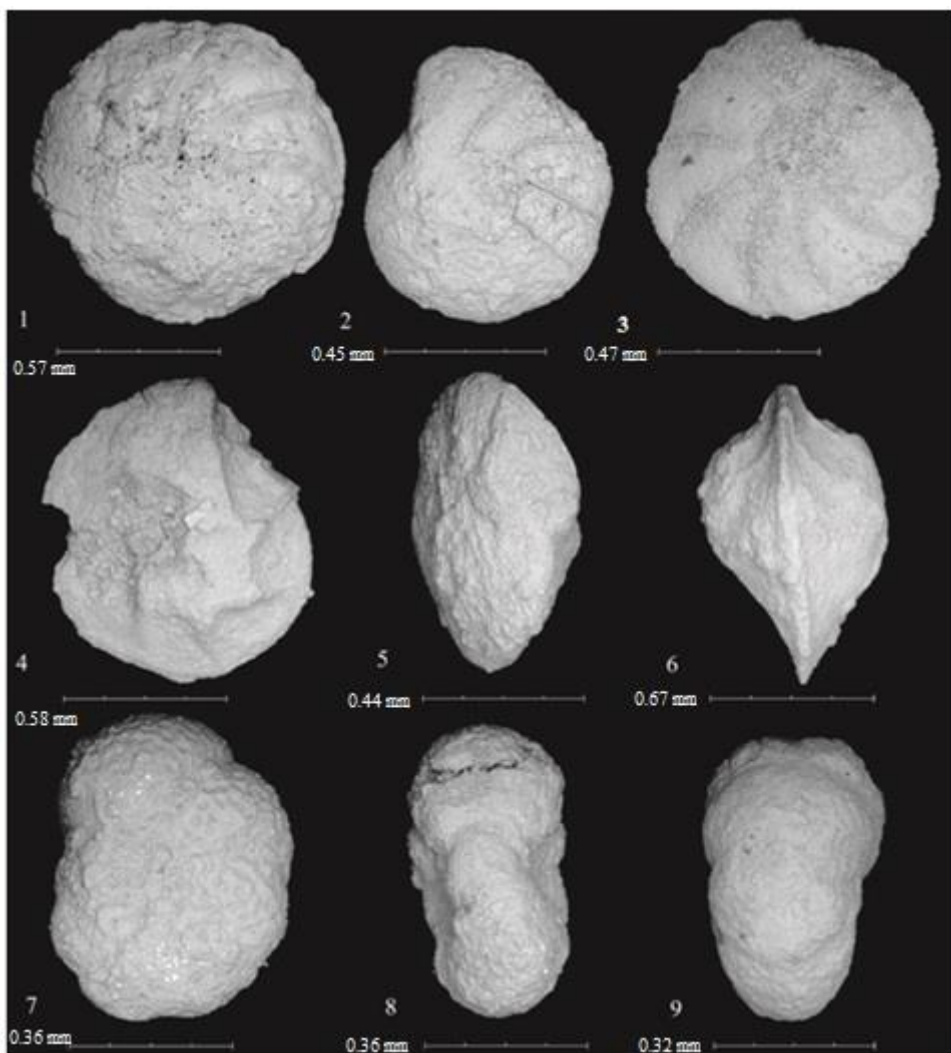
<https://dorl.net/dor/20.1001.1.20087888.1402.39.1.4.4>



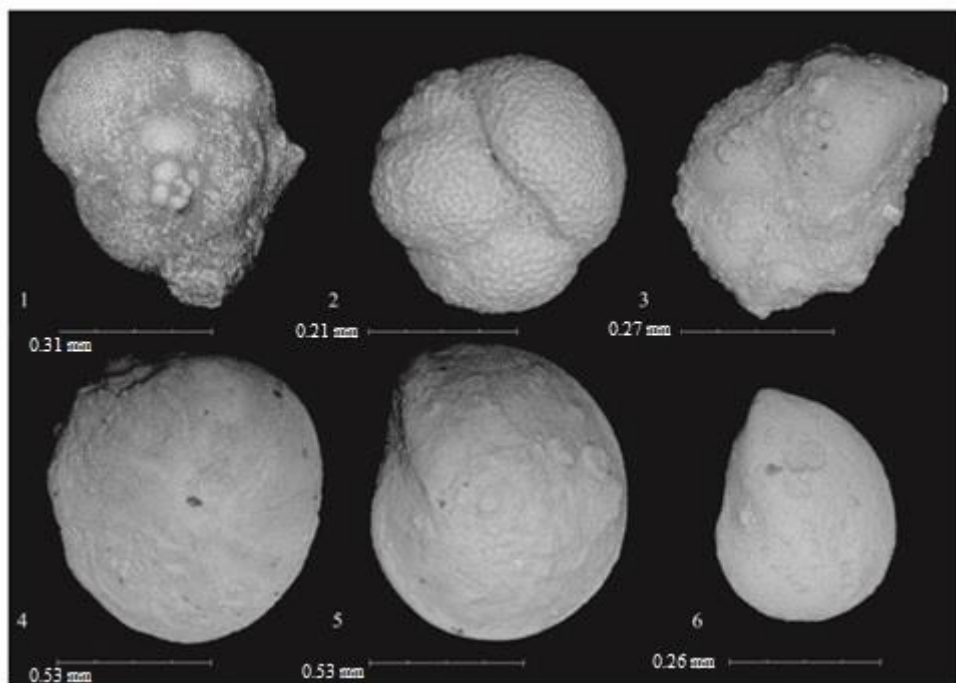
**Plate 1-** Fig 1- *Uvigerina* sp., Lateral view, Sample no. P10, Pabdeh Formation, Tang- e- Chogan section. Figs 2- 3, 7: *Chiloguembelina* sp., 2: Lateral view, Sample no. P4, 3, 7: Lateral view, Sample no. P5- 1. Figs 4-5: *Chiloguembelina wilcoxensis* (CUSHMAN and PONTON), 4: Lateral view, Sample no. P5- 1, 5: Lateral view, Sample no. P10, Pabdeh Formation, Tang- e- Chogan section. Fig 6: *Uvigerina havanensis* CUSHMAN and BERMUDEZ, Lateral view, Sample no. P38. section. Fig 8: *Neogallitella* sp., Lateral view, Sample no. Pd34, Pabdeh Formation, Dehli section. Fig 9: *Streptochilus* sp., Lateral view, Sample no. Pd42, Pabdeh Formation, Dehli section. Fig 10: *Orbulinoides beckmanni* (SAITO), Sample no. P41, Pabdeh Formation, Tang- e- Chogan section.



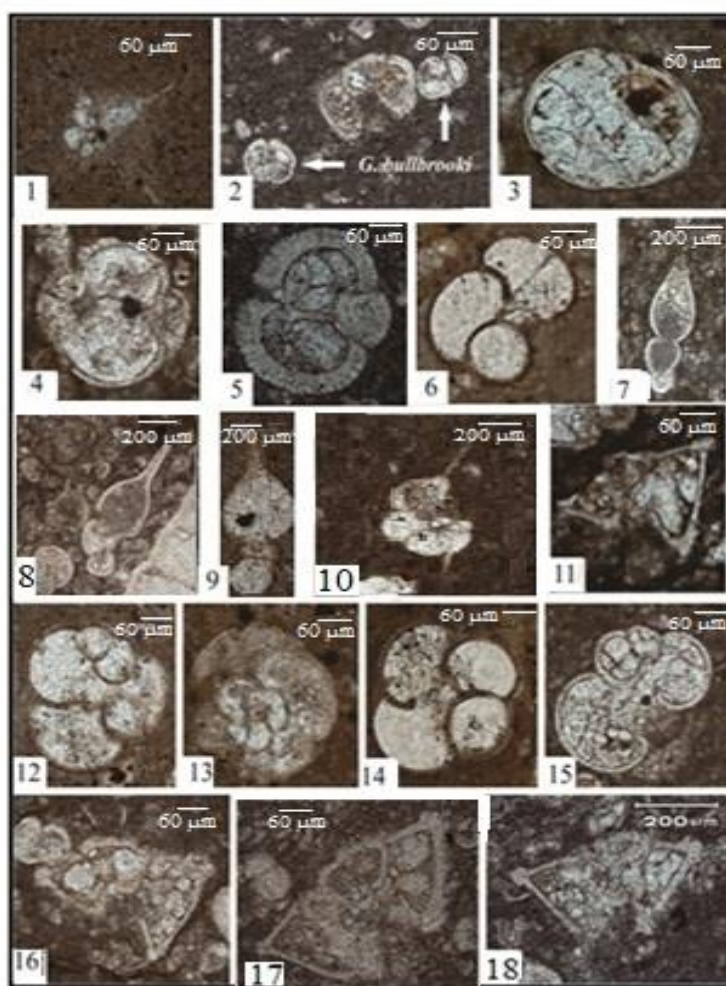
**Plate 2- Fig 1-** *Parasubbotina pseudowilsoni* OLSSON AND PEARSON, Spiral view, Sample no. P10, Pabdeh Formation, Tang- e- Chogan section. Figs 2-3- 4: *Alicantina* sp., 2: Umbilical view, Sample no. P10\_ 3: Lateral view, Sample no. P5- 1\_ 4: Umbilical view, Sample no. P5- 1, Pabdeh Formation, Tang- e- Chogan section. Figs 5, 10: *Subbotina* sp., 5: Lateral view, Sample no. P31, Fig. 7: *Lenticulina* sp., Sample no. P5- 1\_ 10: Lateral view, Sample no. P5- 1, Pabdeh Formation, Tang- e- Chogan section. Figs 6, 11- 12: *Parasubbotina* sp., 6, 11: Spiral view, Sample no. P40\_ 12: Lateral view, Sample no. P40, Pabdeh Formation, Tang- e- Chogan section. Fig 8, 9: *Subbotina eocaena* (GUEMBEL), 8: Spiral view, Sample no. P5- 1\_ 9: Umbilical view, Sample no. P5- 1, Pabdeh Formation, Tang- e- Chogan section.



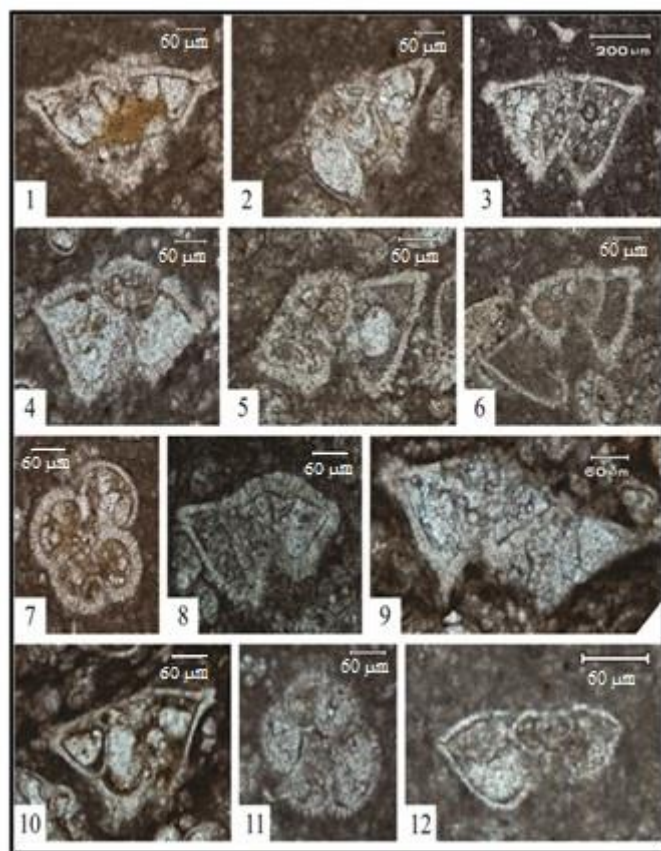
**Plate 3-** Figs 1-6- *Lenticulina* sp. LAMARCK 1, 2, 3: Spiral view, Sample no. P10\_4: Spiral view, Sample no. P10\_ 5: Apertural view, Sample no. P10\_ 6: Lateral view, Sample no. P10, Pabdeh Formation, Tang- e- Chogan section. Fig 7, 8: *Pseudohastigerina micra* (COLE), 7: Umbilical view, Sample no. P5- 1\_ 8: Lateral view, ample no. P5- 1, Pabdeh Formation, Tang- e- Chogan section. Fig 9: *Pseudohastigerina* cf. *micra* (COLE), Lateral view, Sample no. P38, Pabdeh Formation, Tang- e- Chogan section.



**Plate 4-** Fig 1- *Guembelitrioides nuttalli* (HAMILTON), Spiral view, Sample no. P41, Pabdeh Formation, Tang-e-Choghan Fig 2 :*Globigerina* sp., 1: Spiral view, Sample no. P41, Pabdeh Formation, Tang-e-Choghan section., 2: Umbilical view, Sample no. P41, Pabdeh Formation, Tang-e-Choghan section. Fig 3: *Hantkenina alabamensis* CUSHMAN, Spiral view, Sample no. P84, Pabdeh Formation, Tang-e-Choghan section. Figs 4- 6: *Lenticulina* sp. LAMARCK, 4: Umbilical view, Sample no. Pd8\_5: Spiral view, Sample no. Pd8\_ 6: Spiral view, Sample no. Pd33\_ 7: Spiral view, Sample no. Pd46, Pabdeh Formation, Dehli section.



**Plate 5-** Fig 1- *Hantkenina* aff. *dumblei*, Axial section, Sample no. P55, Pabdeh Formation, Tang- e- Chogan sectionFig 2: *Acarinina bullbrookii* (BOLLI), Sagittal section, Sample no. P18a, Pabdeh Formation, Tang- e- Chogan section, Fig 3: *Orbulinoides beckmanni*, (SAITO), Axial section, Sample no. P58, Pabdeh Formation, Tang- e- Chogan section, Fig 4: *Turborotalia cerroazulensis* (Cole), Oblique section, Sample no. P39a, Pabdeh Formation, Tang- e- Chogan section, Fig 5: *Globigerinatheka kugleri* (BOLLI, LOEBLICH AND TAPPAN) Axial section, Sample no. P18a, Pabdeh Formation, Tang- e- Chogan section, Fig 6: *Subbotina* cf. *eocaena* Oblique section, Sample no. P44, Pabdeh Formation, Tang- e- Chogan section, Fig 7: *Hantkenina mexicana* CUSHMAN, Oblique section, Sample no. P35, Pabdeh Formation, Tang- e- Chogan section, Fig 8: *Hantkenina longispina* CUSHMAN, Oblique section, Sample no. P34, Pabdeh Formation, Tang- e- Chogan section, Fig 9: *Hantkenina* sp., Sagittal section, Sample no. P51, Pabdeh Formation, Tang- e- Chogan section. Fig 10: *Hantkenina alabamensis* CUSHMAN, Axial section, Sample no. P64, Pabdeh Formation, Tang- e- Chogan section. Fig 11: *Morozovella velascoensis* (CUSHMAN), Axial section, Sample no. P3, Pabdeh Formation, Tang- e- Chogan section.Figs 12, 13: *Subbotina eocaena* (GUEMBEL), 10: Axial section, Sample no. P44\_ 11: Spiral section, Sample no. P45a, Pabdeh Formation, Tang- e- Chogan section, Fig 14: *Globigerina pseudoeocaena* SUBBOTINA, Sagittal section, Sample no. P44, Pabdeh Formation, Tang- e- Chogan section, Fig 15: *Globigerina* sp., Axial section, Sample no. P8, Pabdeh Formation, Tang- e- Chogan section, Fig 16: *Morozovella aequa* (CUSHMAN and RENZ), Axial section, Sample no. P13, Pabdeh Formation, Tang- e- Chogan section, Fig 17: *Morozovella* aff. *gracilis*, Axial section, Sample no. P13, Pabdeh Formation, Tang- e- Chogan section. Fig 18: *Morozovella aragonensis*, (NUTTALL), Axial section, Sample no. P18a, Pabdeh Formation, Tang- e- Chogan section.



**Plate 6-** Fig 1- *Morozovella* cf. *gracilis*, Axial section, Sample no. P13, Pabdeh Formation, Tang- e- Chogan section, Fig 2: *Morozovella* cf. *aequa*, Axial section, Sample no. P13, Pabdeh Formation, Tang- e- Chogan section, Fig 3: *Morozovella* cf. *aragonensis*, Axial section, Sample no. P18a, Pabdeh Formation, Tang- e- Chogan section, Fig 4: *Morozovella* cf. *subbotinae* , Axial section, Sample no. P13, Pabdeh Formation, Tang- e- Chogan section, Fig 5: *Morozovella* sp., Axial section, Sample no. P37, Pabdeh Formation, Tang- e- Chogan section, Fig 6: *Morozovelloides* cf. *crassatus*,, Axial section, Sample no. P37, Pabdeh Formation, Tang- e- Chogan section, Fig. 7: *Planorotalites* sp., Sagittal section, Sample no. P8\_ 14: Oblique section, Sample no. P3, Pabdeh Formation, Tang- e- Chogan section, Fig 8: *Morozovella* *subbotinae* (Morozova), Axial section, Sample no. P9, Pabdeh Formation, Tang- e- Chogan section, Fig 9: *Morozovella* *formosa* (BOLLI), Axial section, Sample no. P3, Pabdeh Formation, Tang- e- Chogan section, Fig 10: *Morozovella* *gracilis* BOLLI, Axial section, Sample no. P3, Pabdeh Formation, Tang- e- Chogan section, Fig 11: *Planorotalites* *pseudoscitula* (GLAESSNER), Sagittal section, Sample no. P18a, Pabdeh Formation, Tang- e- Chogan section, Fig 12: *Globorotalia* *renzi* BOLLI, Axial section, Sample no. P18a, Pabdeh Formation, Tang- e- Chogan section.

## نتایج

براساس مطالعه زیست چینه‌نگاری روزن‌داران پلانکتون سازند پابده در توالی رسوی چوگان، ۵ زون زیستی تجمعی شناسایی شد که بیانگر سن ائوسن پیشین تا ائوسن پسین است. این بیوزن‌ها در مجموع ۲۱ جنس و ۲۴ گونه از روزن‌داران پلانکتون و کفازی را به شرح زیر در بر می‌گیرد.

*Acarinina bullbrookii*, *Alicantina* sp., *Chiloguembelina wilcoxensis*, *Clavigerinella akersi*, *Globorotalia renzi*, *Globigerina pseudoeocaena*, *Globigerina* sp., *Globigerinatheka kugleri*, *Guembelitrioides nuttalli*, *Hantkenina alabamensis*, *Hantkenina longispina*, *Hantkenina mexicana*, *Hantkenina* sp., *Kathina* sp., *Lenticulina* sp., *Morozovella aequa*, *Morozovella aragonensis*, *Morozovella caucasica*, *Morozovella conicotruncata*, *Morozovella formosa*, *Morozovella gracilis*, *Morozovella subbotinae*, *Morozovella velascoensis*, *Morozovelloides* cf. *crassatus*, *Orbulinoides beckmanni*, *Parasubbotina pseudowilsoni*, *Planorotalites pseudoscitula*, *Pseudohastegrina micra*, *Streptochilus* sp., *Subbotina eocaena*, *Subbotina* sp., *Turborotalia cerroazulensis*, *Uvigerina havanensis*.

## تشکر و قدردانی

این مقاله مستخرج از پایان‌نامه کارشناسی ارشد خانم زهرا خالوعسگری است. مؤلفان از معاونت پژوهشی دانشگاه پیام نور اصفهان، واحد آزمایشگاه زمین‌شناسی دانشگاه پیام نور اردکان و واحد عکس‌برداری SEM دانشگاه یزد و همچنین از داوران محترم نشریه به جهت ویرایش علمی و ادبی این مقاله، تشکر و قدردانی می‌کنند.

## References

- Afsharharb A. 2011. Petroleum Geology, Payame Noor University, 360p [In Persian].
- Aghanabati A. 2004. Geology of Iran, Geological Survey and Mineral Expolaration of Iran, 640 p. [In Persian].
- Ahifar A. Kani A. and Amiribakhtyar H. 2015. Biostratigraphy of the Pabdeh Formation based on the nanofossils in the Gurpi Anticlinal, Geoscience Journal, 24 (95): 107-120 [In Persian].  
<https://doi.org/10.22071/gsj.2015.42301>
- Ala MA. Kinghorn PRF. and Rahman M. 1980. Organic geochemistry and source rock characteristics of the Zagros petroleum province, Southwest Iran. Journal of Petroleum Geology, 3(1): 61-89.
- Amiribakhtyar H. Hadavandkhani N. and Norainejad



- Planktonic Foraminifera: 2nd course: Paleocene and Eocene. – International School on Planktonic Foraminifera, p. 152.
- Sadeghi A. and Hadavandkhani N. 2010. Biostratigraphy of the Pabdeh Formation in the Imamzadeh Soltan Ebrahim section (NW Izeh). Geology of Iran Journal, 4(15): 81-98 [In Persian].
- Salsani A. 2012. Biostratigraphy and Paleoecology of foraminifera of the Pabdeh Formation by research in phosphate layer in the Kuh-e-Lar (north of Gachsaran) MSc. Thesis, Kharazmi University, Tehran, 147p [In Persian].
- Senemari S. 2015. A new aspect in determining the age of the Pabdeh Formation based on calcareous nannofossil in the north Ilam (West Iran), Researches in Earth Sciences, 6(23): 66-79 [In Persian].
- Toumarkine M. and Luterbacher HP. 1985. Paleocene and Eocene Planktic Foraminifera. In: Bolli HM. Saunders JB. and Perch- Nielsen K. (Eds.), Plankton Stratigraphy, 1: 87-154, Cambridge University Press.
- Toumarkine M. and Bolli H.M. 1970. Evolution de Globorotalia cerroazulensis (Cole) dans l'Eocene moyen et superieur de Possagno (Italie). Revue de Micropaleontologie, 13:131- 145.
- Wade BS. Pearson PN. Berggren WA. and Pälike H. 2011. Review and revision of Cenozoic tropical planktonic foraminiferal biostratigraphy and calibration to the geomagnetic polarity and astronomical time scale. Earth-Science Reviews, 104:111-142.
- Wynd J. G. 1965. Biofacies of the Iranian Oil Consortium Agreement Area, IOOC Report No.1082, Teheran (unpubl.).
- Sarbalesh Anticlinal in southwest of Kazeroun. Msc. Thesis, Payam-e-Noor University, 134p.
- Khavari Khorasani M. Hadavi F. and Ghaseminejad A. 2014. Nanostratigraphy and paleoecology of Pabdeh Formation in the northwest of Zagros Basin in Ilam Section. Paleontology, 1(2): 149-164.
- Mohseni H. and Aasm A. 2004. Tempestite deposits on a storm- influenced carbonate ramp: an example from the Pabdeh Formation (Paleogene), Zagros Basim, SW Iran. Journal of Petroleum Geology, 27: 163- 178.
- Mohseni H. Behbahani R. Khodabakhsh S. and Atashmard Z. 2011. Depositional environments and trace fossil assemblages in the Pabdeh Formation (Paleogene), Zagros Basin, Iran. N. Jb. Geol. Paliont. Abh., 262(1): 59-77.
- Moghaddasi A. Vaziri-Moghaddam H. and Seyrafian A. 2020. The Maastrichtian-Danian in the SW Zagros Fold-Thrust Belt (S. Iran): An integration of planktonic foraminiferal biostratigraphy and gamma-ray spectrometry. Acta Geologica Sinica, 94(5): 1339-1363. doi: 10.1111/1755-6724.14292.
- Motiei H. 1995. Geology of Iran: Petroleum Geology of Zagros. Geological Survey and Mineral Exploration of Iran, 1009 p. (in Persian)
- Najafi D. 1998. Microbiostratigraphy of the Pabdeh Formation in the northeast of Dezful and its stratigraphical relation with Taleh Zang, Kashkan and Shahbazan formations. MSc. Thesis, 138p.
- Parandavar M. Mahanipour A. Aghanabati A. and Hoseini A. 2013. Biostratigraphy of the nanofossils in the upper parts of the Gurpi Formation and lower part of the Pabdeh Formation in northeast Kuh-e-Gurpi Anticlinal, Geoscience Journal, 187: 89-198 [in Persian].
- Permoli Silva I. Rettori R. and Verga D. 2003. Practical Manual of Paleocene and Eocene

